

УДК 537.611

© 1992

ДВУМЕРНЫЕ ОТРИЦАТЕЛЬНО ЗАРЯЖЕННЫЕ ДОНОРЫ D^- В УЛЬТРАКВАНТОВОМ РЕЖИМЕ СИЛЬНОГО МАГНИТНОГО ПОЛЯ

А. Б. Дзюбенко

В пределе сильного магнитного поля получены энергии связи двумерных ($2D$) отрицательно заряженных доноров D^- , содержащих два электрона в синглетном или триплетном состоянии на нулевом и первом уровнях Ландау (УЛ). Показано, что энергии переходов при поглощении инфракрасного кванта, возбуждающего один электрон с нулевого на первый УЛ, оказываются значительно больше энергий связи D^- , что необходимо учитывать при интерпретации экспериментов. Найдено, что поглощение основным триплетным состоянием D^- отличается от случая синглета дополнительной сильной линией, которая лежит в области энергий, меньших энергии циклотронного резонанса. Получены энергии электрон-донорных комплексов D^{2-} с тремя электронами на нулевых УЛ в квадруплетном и дублетном состояниях. Показано, что состояния D^{2-} оказываются неустойчивыми относительно отрыва электрона.

1. Селективное легирование полупроводниковых квантовых ям (КЯ) GaAs/GaAlAs позволяет реализовать ситуацию, когда часть электронов, слабо связанных с донорами в барьерном слое GaAlAs, переходит на нейтральные доноры D_0 , находящиеся в КЯ GaAs. При этом в КЯ образуются устойчивые отрицательно заряженные состояния D^- , захватившие два электрона [^{1, 2}]. Состояния D^- наиболее отчетливо регистрируются в сильном магнитном поле H по переходам $D^- \rightarrow N$, в которых один электрон при поглощении инфракрасного кванта возбуждается с нулевого на УЛ с номером N ; наиболее сильным является дипольно-разрешенный переход $D^- \rightarrow N = 1$ с $\Delta M_z = 1$. Энергия связи комплекса D^-E_B определялась в [¹] как энергия перехода $D^- \rightarrow N = 1$ за вычетом циклотронной энергии $\hbar\omega_c = \hbar eH/m^*c$. Определенная таким образом E_B находится в согласии с энергией связи, определяемой по пикам магнитопроводимости, связанным с переходом на нулевом УЛ $D^- \rightarrow N = 0$, а также с расчетом квантовым методом Монте-Карло [³] энергии связи основного синглетного s -состояния D^- лишь с учетом полярной поправки.

В настоящей работе мы хотим показать, что при определении энергий связи E_B по энергиям переходов D^- необходимо учитывать, что в присутствии магнитного поля в КЯ все состояния D^- дискретны и локализованы и после поглощения инфракрасного кванта система находится в конечном возбужденном распадном состоянии, что требует дополнительной энергии кванта. По-видимому, это может объяснить, по крайней мере частично, обнаруживаемое систематическое занижение теоретических значений энергий связи E_B , полученных для синглетного основного состояния D^- [³], по сравнению с определенными в экспериментах [^{1, 2}].

Отметим также, что, поскольку эффективные g -факторы электронов малы в GaAs, необходимо учитывать переходы не только из синглетного состояния, но и из расположенных близко по энергии триплетных состояний D^- , которые, как и в $3D$ случае (см. [^{4, 5}] и цитированную литературу), являются устойчивыми в магнитном поле. Как будет показано, спектры инфракрасного поглощения синглета и триплета отличаются наличием у последнего дополнительной диполь-

но-разрешенной линии, расположенной в области энергий, меньших $\hbar\omega_c$. Существенно, что при этом переходе конечное состояние D^- может оказаться долгоживущим.

2. При рассмотрении мы будем пренебречь перемешиванием различных УЛ, что оправдано для сильных магнитных полей $\hbar\omega \gg E_0$ и является хорошим приближением вплоть до $\hbar\omega_c \geq E_0$. Здесь $E_0 = (\pi/2)^{1/2} (e^2/\epsilon r_H) \sim \sqrt{H}$ — характерная энергия кулоновских взаимодействий в магнитном поле, так что приведенное выше условие сводится к требованию $r_H \ll a_B^*$, где $r_H = (\hbar c/eH)^{1/2}$ — магнитная длина, $a_B^* = \epsilon \hbar^2 / m^* e^2$ — эффективный боровский радиус. Для GaAs $a_B^* \approx 100 \text{ \AA}$ и равенство $r_H = a_B^*$ соответствует полю $H \approx 6.7 \text{ T}$.

Кроме того, мы будем рассматривать чисто 2D модель, которая позволяет точно получить энергии различных состояний D^- и вместе с правилами отбора получить энергии переходов при поглощении инфракрасных квантов. В применении к квазидвумерной КЯ конечной ширины d чисто 2D рассмотрение физически соответствует ситуации, когда можно ограничиться учетом только самого нижнего уровня размерного квантования. В сильном магнитном поле это оправдано, когда подмешивание высших уровней размерного квантования за счет кулоновских взаимодействий (рассматриваемое во втором порядке теории возмущений) мало: $E_0^2 / (h^2/m^* d^2) \ll E_0$, что эквивалентно условию $r_H a_B^* \gg d^2$ (и является хорошим приближением вплоть до $r_H a_B^* \gg d^2$). Обратим внимание на то, что при фиксированном d это неравенство нарушается с ростом поля H , что физически отвечает «тримеризации» ситуации (очевидной в пределе $r_H \ll d$).

Ясно, что в применении к КЯ чисто 2D рассмотрение не может претендовать на хорошее количественное описание. Как будет показано, энергии связи D^- оказываются завышенными, например, для синглетного состояния в КЯ с $d = 100 \text{ \AA}$ в поле $H = 20 \text{ T}$ на 10–15%. Однако 2D рассмотрение позволяет установить важные количественные особенности спектров D^- , необходимые для правильной интерпретации экспериментов [1, 2].

Следуя [6] (см. также [7]), координатные волновые функции (ВФ) электрон-примесных комплексов строим из ВФ невзаимодействующих частиц на данных УЛ. Удобно при этом пользоваться ВФ, получаемыми в методе факторизации [8–10] с помощью лестничных бозе-операторов

$$a^+ = -\frac{i}{\sqrt{2}} \left(\frac{z}{2r_H} - 2r_H \frac{\partial}{\partial z^*} \right), \quad b^+ = \frac{1}{\sqrt{2}} \left(\frac{z^*}{2r_H} - 2r_H \frac{\partial}{\partial z} \right), \quad (1)$$

$z = x + iy$ — 2D комплексная переменная. ВФ имеют вид

$$\varphi_{nm}(r) = \langle r | nm \rangle = \frac{(a^+)^n (b^+)^m}{(2\pi r_H^2 n! m!)^{1/2}} \exp \left(-\frac{|z|^2}{4r_H^2} \right). \quad (2)$$

В (2) n — номер УЛ; m — осцилляторное квантовое число, по которому энергия вырождена; n, m определяют проекцию момента m_z соотношением $m_z = n - m$ и связаны с квадратом радиуса орбиты соотношением $\langle r^2 \rangle_{nm} = 2(n+m+1)r_H^2$. В таком представлении ВФ заряженной частицы в магнитном поле эквивалентна двум независимым линейным осцилляторам. Это делает чрезвычайно удобным систематическое вычисление матричных элементов взаимодействия [10] (см. также [11, 12]): в Фурье-представлении они факторизуются по квантовым числам n, m .

Состояния D^- удобно характеризовать в сильном магнитном поле набором квантовых чисел $\{S, S_z, N, M\}$. Здесь S, S_z — полный спин электронов и его проекция на ось поля H , $N = n_1 + n_2$ — номер УЛ (n_1, n_2 — не являющиеся по отдельности хорошими квантовыми числами номера УЛ отдельных электронов), а квантовое число $M = N - M_z$ (где M_z — точное квантовое число) — значение проекции полного момента.

От координат электронов r_1, r_2 удобно с помощью ортогонального преобразования перейти к координатам $\mathbf{r} = (r_1 - r_2)/\sqrt{2}$, $\mathbf{R} = (r_1 + r_2)/\sqrt{2}$, что сохраняет квадратичную форму $\sum_i |z_i|^2$ [6] в показателях экспонент ВФ. Точная ВФ

электрон-примесного комплекса с квантовыми числами N, M и спином S должна определяться из решения секулярного уравнения, включающего в себя матричные элементы гамильтониана кулоновских $e-e$ взаимодействий и взаимодействий электронов с заряженной примесью

$$\hat{H} = -\frac{e^2}{\epsilon r_1} - \frac{e^2}{\epsilon r_2} + \frac{e^2}{\epsilon |\mathbf{r}_1 - \mathbf{r}_2|} \quad (3)$$

между полным набором ортонормированных ВФ

$$\varphi_{n, m}(\mathbf{r}) \varphi_{N-n, M-m}(\mathbf{R}). \quad (4)$$

Набор (4) содержит конечное число состояний (в отличие от экситонных комплексов, рассмотренных в [11, 12]), причем они локализованы в различных частях \mathbf{r} -пространства. Четность различных квантовых чисел n, m (n, m — целые неотрицательные) определяется полным спином S — четностью при перестановке $r_1 \geq r_2$. Поскольку четность $\varphi_{n, m}(\mathbf{r})$ есть $(-1)^{n+m} = (-1)^{M_z}$, то для синглета $S = 0$ (триплета $S = 1$) $n + m$ должно быть четным (нечетным). Прямой подсчет показывает, что как для $S = 0$, так и для $S = 1$ число различных состояний \mathcal{N} в (4) (т. е. кратность вырождения уровня с данными N, M и S) равно $\mathcal{N} = (N+1)(M+1)/2$. Исключением является случай, когда оба числа N и M четны. Тогда $\mathcal{N} = (NM + N + M)/2 + 1$ для $S = 0$ и $\mathcal{N} = (NM + N + M)/2$ для $S = 1$.

3. В дальнейшем в конкретных расчетах мы ограничимся рассмотрением случаев, когда (1) оба электрона находятся на нулевых УЛ $N = 0$ и (2) один электрон возбужден на первый УЛ $N = 1$. В этих случаях полный базис составляют ВФ соответственно

$$\varphi_{0, m}(\mathbf{r}) \varphi_{0, M-m}(\mathbf{R}), \quad (5)$$

$$\varphi_{0, m}(\mathbf{r}) \varphi_{1, M-m}(\mathbf{R}), \varphi_{1, l}(\mathbf{r}) \varphi_{0, M-l}(\mathbf{R}) \quad (6)$$

с различными квантовыми числами m в (5) и m и l в (6).

После перехода в гамильтониане (3) к переменным \mathbf{r}, \mathbf{R} , матричные элементы парных $e-e$ взаимодействий оказываются диагональными в выбранном представлении и выражаются через матричные элементы электрон-примесного взаимодействия на нулевом и первом уровнях УЛ

$$V_{0, m} = \frac{(2m-1)!!}{2^m m!} E_0, \quad V_{1, m} = \frac{4m-1}{4m-2} V_{0, m}. \quad (7)$$

Наоборот, матричные элементы электрон-примесных взаимодействий оказываются недиагональными и выражаются через матричные элементы парных взаимодействий частиц на нулевых УЛ $U_{mn}^{(00)}(s)$ и прямых и обменных взаимодействий на нулевом и первом УЛ $U_{mn}^{(01)}(s)$, $U_{mn}^{(01)E}(s)$. Их явный вид, удобный для непосредственных расчетов, приведен в Приложении. Приведем здесь необходимые матричные элементы гамильтониана (3)

$$\langle n, M - m'; 0, m' | \hat{H} | 0, m; n, M - m \rangle = \delta_{m, m'} \frac{1}{\sqrt{2}} V_{0, m} - 2\sqrt{2} U_{\min}^{(0n)}(m, m') \min(M - m, M - m') (|m - m'|) \quad (8)$$

(где $n = 0, 1$; $\langle n, M - m'; 1, m' | \hat{H} | 1, m; n, M - m \rangle$ дается выражением (8) с $n = 1$, в котором произведена замена $V_{0, m} \rightarrow V_{1, m}$, и

$$\begin{aligned} \langle 0, M - l; 1, l | \hat{H} | 0, m; 1, M - m \rangle = \\ = -2\sqrt{2} U_{\min}^{(01)E}(m, l) \min(M - m, M - l) (|m - l|). \end{aligned} \quad (9)$$

Выше введено обозначение

$$\varphi_{n_1, m_1}(\mathbf{r}) \varphi_{n_2, m_2}(\mathbf{R}) \equiv |n_1, m_1; n_2, m_2\rangle.$$

4. Результаты расчетов энергий взаимодействий состояний D^- с $M < 20$ и различными $N, S = 0, 1$ представлены на рис. 1, а—г (энергии триплетных состояний $N = 0$ с $M = 1, 2$ ранее были получены в [6], где они даны в единицах $e^2/\epsilon r_H$; см. также [16]).

Остановимся сначала на общих особенностях спектров. Из рис. 1, а—г видно, что с ростом M в спектрах постепенно выделяется все большее число отдельных «ветвей». Самые низколежащие — «горизонтальные» — физически отвечают одному электрону, связанному на доноре с квантовыми числами $m = 0, 1, 2, \dots$, в то время как второй электрон уходит на максимально возможное при данном M расстояние и все более слабо взаимодействует с нейтральным донором D^0 . Асимптотические значения энергий этих ветвей при $M \gg 1$ определяются расположенным в порядке возрастания величинами $-V_{0, m}$ для $N = 0$ и $-V_{1, m}$, $-V_{0, 0} = -1$, $-V_{1, 1} = -0.75$, $-V_{0, 1} = -V_{1, 0} = -0.5$ (и для $N = 1$ имеются две практически вырожденные ветви; рис. 1, б, г), $-V_{1, 2} = -0.4375$, $-V_{0, 2} = -0.375$. Подчеркнем, что для самых низколежащих ветвей эти асимптотические значения практически достигаются уже при $M < 3—4$.¹

Обратимся теперь к наиболее высоколежащим ветвям спектра. Они возникают с ростом M при увеличении момента движения центра масс электронов при сохранении неизменными (и небольшими) квантовых чисел относительного движения: происходит все большее удаление от заряженного центра близко расположенных друг к другу электронов. Энергия таких состояний возрастает при этом примерно как $\mathcal{E}(S) = \text{const} \cdot M^{-1/2}$, где $\mathcal{E}(S)$ — верхняя граница спектра двух взаимодействующих электронов со спином S (ее положение не зависит от

¹ Отметим, что аналогичные по своей природе состояния появляются с ростом M и для 2D магнитоэкситонных примесных комплексов (D^+, X), когда от D^0 уходит дырка [11, 12]. Отличие от настоящего случая состоит в том, что там они попадают в непрерывный спектр — экситонную зону (с делокализованными ВФ) и являются квазидискретными уровнями с конечной шириной линии.

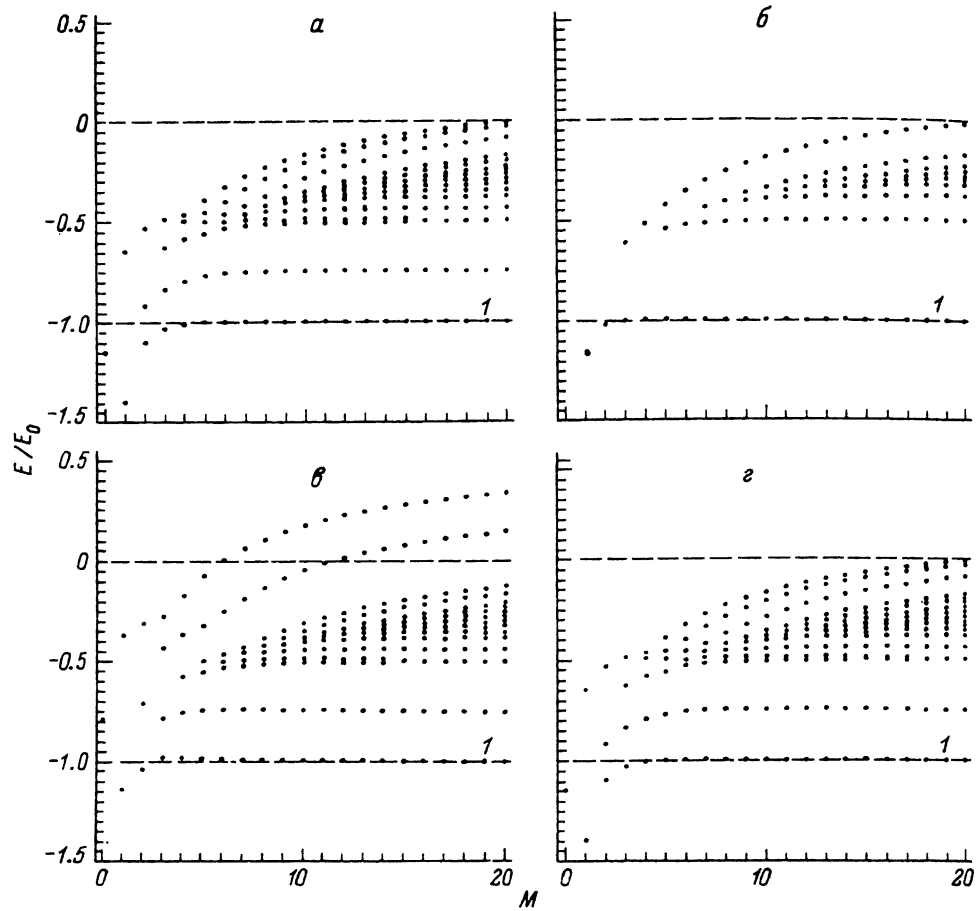


Рис. 1. Энергии взаимодействий (в единицах $E_0 = \left(\frac{\pi}{2}\right)^{1/2} \frac{e^2}{er_H} D^-$ с квантовыми числами $M = N - M_x \leq 20$ синглетных состояний $S = 0$ на нулевом УЛ $N = 0$ (а), триплетных состояний $S = 1$ на нулевом УЛ $N = 0$ (состояние с $M = 0$ в силу принципа Паули отсутствует) (б), синглетных состояний $S = 0$ на первом УЛ $N = 1$ (в), триплетных состояний $S = 1$ на первом УЛ $N = 1$ (г). Состояния D^- , лежащие выше основного состояния D^0 с энергией E_0 (линия 1), при $N = 0$ являются устойчивыми относительно отрыва электрона, при $N = 1$ могут оказаться долгоживущими.

наличия примеси). Используя (8), можно показать, что как для $N = 0$, так и для $N = 1$ $\mathcal{E}(0) = 0.7071E_0$, $\mathcal{E}(1) = 0.3536E_0$. Отметим, что для синглетных состояний, в которых принципом Паули допустимо нахождение электронов на совпадающих орбитах, состояния с положительной энергией достигаются уже при небольших M . Обратим внимание на то, что для $N = 1$, когда принцип Паули можно удовлетворить за счет дополнительного квантового числа, в спектре быстро проявляются две высоколежащие ветви (рис. 1, в).

Между двумя предельными случаями низколежащих и возбужденных состояний имеются и промежуточные случаи, отвечающие все менее плотному в г-пространстве расположению электронов, когда имеется спектр, близкий к непрерывному.

5. Рассмотрим устойчивость комплексов D^- по отношению к отрыву одного электрона. На уровне $n = 0$ электрон с заряженным донором наиболее сильно

связывается в состоянии с $m = 0$, энергия связи D^0 равна при этом [12] $V_{0,0} = E_0$ (см. также [10], где для 2D ситуации рассмотрены произвольные поля H). Таким образом, устойчивыми будут состояния D^- с $N = 0$, полная энергия взаимодействий которых оказывается меньше $-E_0$. Остальные состояния термодинамически неустойчивы относительно ухода электрона на бесконечность (например, за счет каскадного испускания акустических фононов).

Для комплексов на нулевых УЛ имеется всего одно устойчивое синглетное состояние с $M = 0$ и энергией связи $E_B = 0.2929E_0$ (что для поля $H = 10$ Т и $\epsilon = 12.5$ составляет 5 мэВ ≈ 42 см $^{-1}$)² и три устойчивых триплетных состояния, из которых только одно (с $M = 1$) сильно связано с $E_B = 0.1465E_0$. Наименьшей полной энергией без учета энергии спинов в магнитном поле $g\mu_B H S_z$ обладает, как и должно быть, синглетное состояние с $M = 0$, не имеющее узлов. Разность энергий взаимодействия основных уровней синглетных и триплетных состояний $\Delta E_{ST} = 0.1465E_0$. В достаточно сильных полях $|g|\mu_B H > \Delta E_{ST} \propto \sqrt{H}$ и основным состоянием является поляризованный по полю (при $g < 0$) триплет с $S_z = 1$. Интересно, что наибольшая энергия связи 2D магнитоэкситона, связанного на заряженной примеси (D^+ , X) на нулевых УЛ (достигаемая при $M = 1$), составляет $0.1189E_0$ [11, 12] и оказывается меньше энергий связи D^- как с $S = 0$, так и с $S = 1$.

Для случая, когда один электрон возбужден на первый УЛ, ситуация оказывается несколько иной. Строго говоря, стабильных состояний D^- с $N = 1$ нет. Однако если по энергии D^- с $N = 1$ отстоит вниз от первого УЛ более чем на $-E_0$, уход одного электрона на бесконечность обязательно связан с его релаксацией на нулевой УЛ. Вероятность такого перехода за счет электрон-фононных взаимодействий в сильном поле H может оказаться значительно меньше, чем при релаксации на данном УЛ с изменением квантового числа M (из-за разницы в масштабах энергий $\hbar\omega_c \gg E_0$). При этом такие низколежащие состояния D^- с $N = 1$ могут обладать сравнительно большими временами жизни.

Для синглета $S = 0$, $N = 1$ имеются два таких состояния (сильно связано только одно — с $M = 1$ и $E_B = 0.1416E_0$) — рис. 1, в. Для триплета $S = 1$ имеется пять таких состояний, причем сильно связаны из них два: с $M = 0$ и $E_B = 0.1465E_0$ (что в точности совпадает с энергией связи состояния $S = 1$, $M = 1$ на нулевых УЛ, как и должно быть, поскольку ВФ связаны операцией обращения времени), и состояние с $M = 1$ и большой энергией связи $E_B = 0.3965E_0$ — рис. 1, г.

6. Получим по найденным энергиям взаимодействий энергии переходов $D^- \rightarrow N$ с поглощением фотона, возбуждающего один электрон с нулевого на УЛ с номером N . Как для триплета $S = 1$, так и для синглета $S = 0$ можно учитывать переходы только из наиболее сильно связанных состояний на нулевых УЛ с $M = 1$ и $M = 0$ соответственно. Остальные в принципе стабильные триплетные состояния D^- обладают малыми энергиями связи и уже при гелиевых температурах могут не учитываться (например, для состояния $S = 1$, $M = 2$ на нулевых УЛ $E_B = 0.0215E_0 \approx 4$ К при $H = 10$ Т).

В геометрии Фарадея дипольно-разрешенными являются переходы $\Delta M_z = \pm 1$ с сохранением спина S , S_z . В приближении сильного поля, когда подмешивание высших УЛ не учитывается, из основных состояний D^- с $N = 0$ дипольно разрешены только переходы с $\Delta N = 1$ и сохранением осцилляторного квантового числа M . При учете подмешивания высших УЛ дипольно разрешены переходы с изменением M , которые соответствуют произвольным ΔN , однако

² Сравним этот результат с расчетом [3] для режима сильного магнитного поля, когда $\hbar\omega_c/2Ry^* = 3$ ($H = 20.2$ Т, $Ry^* = 5.8$ мэВ — эффективный ридберг для GaAs). Расчет [3] для КЯ толщиной 100 Å дает для синглетного s -состояния D^- энергию связи: 1) $1.13 Ry^*$ без учета различия эффективных масс m^* и диэлектрических проницаемостей ϵ GaAs и GaAlAs, 2) $1.11 Ry^*$ с учетом различия m^* и ϵ , а также с учетом непарabolичности зоны проводимости. Наш результат для чисто 2D случая $0.2929E_0 = 1.27 Ry^*$, как это и следует ожидать, оказывается большим.

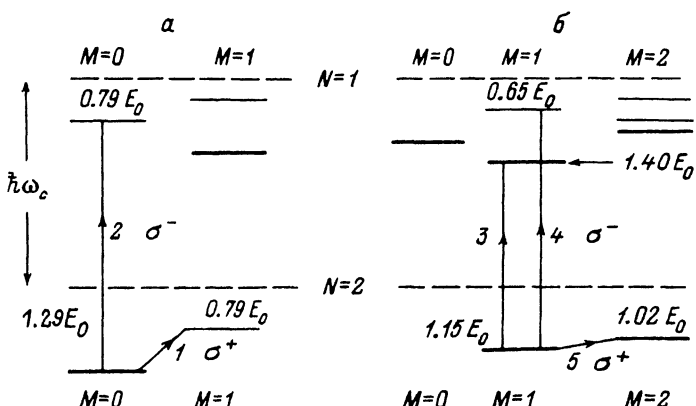


Рис. 2. Дипольно-разрешенные переходы из основного синглетного состояния D^- с $S = 0, M = 0$ (а), основного триплетного состояния D^- с $S = 1, M = 1$ (б).

Штрихом показаны энергии невзаимодействующих УЛ (без учета спиновых энергий $\hbar\omega_B HS_z$), тонкими линиями — распадные состояния D^- , жирными линиями для $N = 0$ — устойчивые состояния, для $N = 1$ — состояния, которые могут оказаться долгоживущими. Энергии переходов $\hbar\omega_1 = 0.5E_0$, $\hbar\omega_2 = \hbar\omega_4 = \hbar\omega_c + 0.5E_0$, $\hbar\omega_3 = \hbar\omega_c - 0.25E_0$, $\hbar\omega_5 = -0.13E_0$. Переходы 1, 5 с $\Delta M = 0$ отвечают правой поляризации излучения σ^+ и являются слабыми по параметру $(E_0/\hbar\omega_c)^2$. «Вертикальные» переходы с $\Delta M = 0$ являются сильными и отвечают левой поляризации σ^- .

они слабы по параметру $(E_0/\hbar\omega_c)^2$ (и обладают дополнительной малостью, зависящей от ΔM , ΔN). К такому роду переходов относятся переходы $D^- \rightarrow N = 0$, возникающие при правой поляризации излучения σ^+ : для синглета — переход 2 на рис. 2 ($M = 0 \rightarrow M = 1$) с энергией $0.5E_0$, для триплета — переход 5 на рис. 2 ($M = 1 \rightarrow M = 2$) с энергией $0.13E_0$ (без учета поправок $\sim E_0^2/\hbar\omega_c$). Подчеркнем, что лишь для триплета энергия перехода оказывается близкой к его энергии связи E_B (и на 15% ее меньше); для синглета энергия перехода в конечное распадное состояние превосходит энергию связи на 71%.

Рассмотрим теперь сильные «вертикальные» переходы с $\Delta M = 0$ и $\Delta N = 1$, отвечающие левой поляризации σ^- (рис. 2). Для синглета $S = 0, N = 1$ имеется единственное конечное состояние с $M = 0$, причем оно является распадным — величина энергии взаимодействий $-0.7929E_0 > -E_0$. Переход в это состояние требует энергии кванта $\hbar\omega = \hbar\omega_c + 0.5E_0$, и с учетом последующего распада конечного состояния при взаимодействии с фононами сам процесс может быть назван фототермической ионизацией (см., например, [5] и цитируемую там литературу), а не является просто фотоионизационным переходом в непрерывный спектр (ср. [1-3]).

В случае триплета $S = 1$ при $N = 1$ имеются два конечных состояния с $M = 1$. Поскольку два исходных базисных состояния из (6) точно вырождены (они связаны операцией обращения времени $t \rightarrow -t$; см. левую часть (10), определение ВФ (2), а также соотношение $(b^+)^* = ia^+$, следующее из (1)), правильные комбинации даются выражением

$$\frac{\varphi_{0,1}(r)\varphi_{1,0}(R) \pm \varphi_{1,0}(r)\varphi_{0,1}(R)}{\sqrt{2}} = \begin{cases} |z_1|^2 - |z_2|^2, \\ z_1^*z_2 - z_1z_2^*. \end{cases} \quad (10a)$$

$$(10b)$$

В правой части (10) опущены нормировочные множители, а также экспоненциальные части ВФ. Переходы в оба состояния (10) из состояния $S = 1, N = 0, M = 1$ с ВФ $\varphi_{0,1}(r)\varphi_{0,0}(R)$ являются дипольно-разрешенными и обладают

одинаковыми значениями матричного элемента перехода: дипольно-активным является переход $\varphi_{0,1}(r)\varphi_{0,0}(R) \rightarrow \varphi_{0,1}(r)\varphi_{1,0}(R)$ с сохранением квантовых чисел относительного движения и с $\Delta n = 1$, $\Delta m = 0$ для ВФ центра масс.

При переходе в состояние (10a) с большой энергией связи $E_B = 0.3965E_0$ энергия кванта оказывается равной $\hbar\omega_c - 0.25E_0$, т. е. лежит в области энергий, меньших $\hbar\omega_c$. Подчеркнем, что состояние (10a) является сильно связанным и его распад связан с релаксацией электрона на нулевой УЛ, т. е. это состояние может оказаться долгоживущим (см. выше обсуждение в п. 5). Насколько нам известно, соответствующий переход экспериментально до сих пор наблюден не был. Возможно, это связано с эффектами насыщения перехода и для его наблюдения требуются, например, эксперименты с временным разрешением или меньшими интенсивностями инфракрасного излучения.

Рассмотрим теперь переход в состояние (10b), которое является распадным (энергия $-0.6465E_0$). Переход в него требует энергии кванта $\hbar\omega_c + 0.5E_0$, что совпадает с рассмотренным выше случаем $S = 0$ (это «случайное» вырождение снимется при учете перемешивания УЛ). Таким образом, данная линия поглощения на $0.5E_0$ смешена в сторону больших энергий по сравнению с $\hbar\omega_c$.

7. Интересно рассмотреть возможность захвата в сильном магнитном поле трех электронов на донорный центр с образованием устойчивых состояний D^2 . Следуя [6], получим энергии электрон-примесных комплексов с тремя электронами на нулевых УЛ. С помощью ортогональных преобразований удобно перейти к координатам, выделяющим движение центра масс [6]

$$Z = \frac{z_1 + z_2 + z_3}{\sqrt{3}}, \quad z_a = \frac{z_1 + z_2 - 2z_3}{\sqrt{6}}, \quad z_b = \frac{z_1 - z_2}{\sqrt{2}}. \quad (11)$$

Для трех электронов в квартетном состоянии $S = 3/2$: в частности, на самом нижнем спин-поляризованном нулевом УЛ, ВФ относительного движения, полностью антисимметричные однородные полиномы по степеням z_a^* , z_b^* [6]. Здесь мы воспользуемся представлением [7] полной системы ортонормированных полиномов, которые для удобства запишем в виде (здесь $a_l = (2\pi r_H^2 2^l l!)^{1/2} r'_H$)

$$|k, n\rangle \frac{3}{2}, S_z = \sqrt{2} a_k^{-1} {}_n a_n^{-1} \frac{\tilde{z}_1^k - \tilde{z}_2^k}{2i} (\tilde{z}_1 \tilde{z}_2)^n \cdot S \frac{3}{2}, S_z, \quad (12)$$

$$\tilde{z}_{1(2)} = \frac{z_a^* \pm iz_b^*}{\sqrt{2}}, \quad k = 3m, \quad m = 1, 2, \dots, \quad n = 0, 1, \dots \quad (13)$$

В (12) $S_{3/2, S_z}$ – спиновая часть ВФ (например, $s_{3/2, -3/2}(\sigma_j) = | \downarrow \downarrow \downarrow \downarrow \rangle$).

Для дублетных состояний с $S = 1/2$ ВФ обладают смешанной симметрией (см., например, [14, 15]). В качестве базисных спиновых функций двумерного представления выбираем (например, для $S_z = -1/2$)

$$S_{1/2, -1/2}^{(1)} = \frac{1}{\sqrt{6}} \{ | \downarrow \uparrow \downarrow \rangle + | \uparrow \downarrow \downarrow \rangle - 2 | \downarrow \downarrow \uparrow \rangle \}, \quad (14)$$

$$S_{1/2, -1/2}^{(2)} = \frac{1}{\sqrt{2}} \{ | \downarrow \uparrow \downarrow \rangle - | \uparrow \downarrow \downarrow \rangle \}, \quad (15)$$

преобразующиеся при перестановке спинов по представлению

$$P_{12} = \begin{pmatrix} 1 & 0 \\ 0 & -1 \end{pmatrix}, \quad P_{23} = \begin{pmatrix} -1/2 & -\sqrt{3}/2 \\ -\sqrt{3}/2 & 1/2 \end{pmatrix} \quad (16)$$

(и $P_{13} = P_{12}P_{23}P_{12}$). Антисимметричная ВФ относительного движения имеет вид

$$|k, n\rangle_{1/2, S_z} = F_{k, n}^{(1)}(z_a^*, z_b^*) \cdot S_{1/2, S_z}^{(1)} + F_{k, n}^{(2)}(z_a^*, z_b^*) \cdot S_{1/2, S_z}^{(2)}, \quad (17)$$

где $F_{k, n}^{(1, 2)}$ — пара однородных полиномов степени $k+2n$, преобразующихся по представлению $-P_{ij}$, сопряженному (16). Полная ортонормированная система таких полиномов имеет вид (ср. (12))

$$F_{k, n}^{1, 2} = a_{k+n}^{-1} a_n^{-1} \left(\frac{\tilde{z}_1^k - \tilde{z}_2^k}{2i}, \pm \frac{\tilde{z}_1^k + \tilde{z}_2^k}{2} \right) \cdot (\tilde{z}_1 \tilde{z}_2)^n, \quad (18)$$

где $k = 3m + 1$ ($k = 3m + 2$) для верхнего (нижнего) знака в (18), и квантовые числа m, n принимают значения $m, n = 0, 1, \dots$. Это нетрудно проверить, учитывая, что

$$P_{12}\tilde{z}_1(2) = \tilde{z}_2(1), \quad P_{23}\tilde{z}_1(2) = \exp(\pm i2\pi/3)\tilde{z}_2(1).$$

В другом виде ВФ для $S = 1/2$ рассматривались в [16].

С учетом движения центра масс полный ортонормированный базис ВФ с квантовым числом $M = i + k + 2n$ и полным спином S имеет вид

$$|i, k, n\rangle_{S, S_z} = a_i^{-1} (Z^*)^i |k, n\rangle_{S, S_z} \equiv |N\rangle. \quad (19)$$

Для вычисления взаимодействия электронов с центром $\langle N' | V_e | N \rangle$ переходим с помощью ортогонального преобразования от (11) к переменным, выделяющим координату одного электрона

$$Z' = \frac{z_1 + z_2}{\sqrt{2}}, \quad z_b = \frac{z_1 - z_2}{\sqrt{2}}, \quad z_3, \quad (20)$$

в которых $|N\rangle$ (19) представляется в виде суперпозиции ВФ трех свободных частиц в магнитном поле. Поэтому матричные элементы взаимодействия с примесным центром $\langle N' | V_e | N \rangle = -3 \langle N' | \frac{e^2}{\varepsilon |z_3|} |N\rangle$ сводятся к сумме (явных громоздких выражений не выписываем) матричных элементов взаимодействия с центром V_0 , ³ Матричные элементы $e-e$ взаимодействий также сводятся к сумме V_0 (см. [7]).

На рис. 3 представлены результаты расчетов энергий состояний с $M < 15$ для дублета $S = 1/2$ (a), квадруплета $S = 3/2$ (б) (энергия состояния с $M = 3$,

³ Вычисляя матричные элементы от части гамильтониана \hat{H} , неинвариантной относительно перестановок частиц, для $S = 1/2$ необходимо учитывать обе «вырожденные» координатные ВФ (18) одной симметрии.

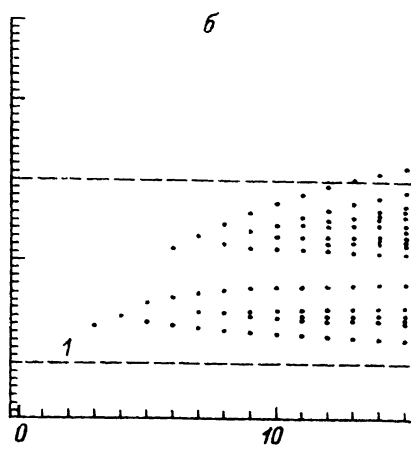
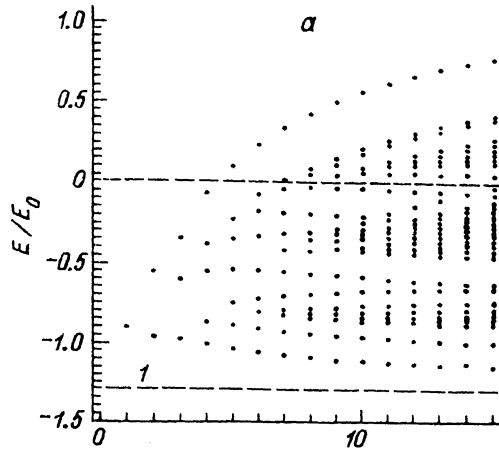


Рис. 3. Энергии взаимодействий состояний D^{2-} с тремя электронами на нулевом УЛ с квантовыми числами $M \leq 15$. а) дублетных состояний $S = 1/2, N = 0$ (состояние с $M = 0$ в силу принципа Паули отсутствует), б) квадруплетных состояний $S = 3/2, N = 0$ (состояния с $M < 3$ отсутствуют).

Состояний, устойчивых относительно отрыва электрона, нет: границей устойчивости для D^{2-} с $S = 1/2$ является энергия основного синглетного состояния $D^- = 1.29E_0$ (показана на рис. 2, а штриховой линией 1), для D^{2-} с $S = 3/2$ — энергия основного триплетного состояния $D^- = 1.15E_0$ (штриховая линия 1 на рис. 3, б).

ранее рассчитанная в [6], дана там с ошибкой). Отметим, что N (кратность вырождения уровня с данным M) для $S = 1/2$ оказывается значительно выше, чем для $S = 3/2$. Так, например, при $M = 15$ $N = 45$ для $S = 1/2$ и $N = 19$ для $S = 3/2$.

Наиболее высоколежащие ветви спектра при $M \gg 1$ соответствуют удалению от заряженной примеси центра масс трех электронов при сохранении их наиболее плотного взаимного расположения, совместимого с 5. Верхние границы спектра асимптотические, достижимые при $M \gg 1$, составляют $1.5910E_0$ для $S = 1/2$ и $0.9612E_0$ для $S = 3/2$ (см. также [6, 7, 16]). Наоборот, низколежащие (и спадающие) ветви спектра при $M \gg 1$ физически отвечают уходу одного электрона, в то время как два других остаются связанными в D^- (ср. обсуждение вида спектра D^- в п. 4).

Для устойчивости D^{2-} со спином $S = 3/2$ ($S = 1/2$) относительно отрыва электрона необходимо, чтобы по энергии D^{2-} был расположен ниже, чем самое низколежащее состояние D^- на нулевых УЛ с $S = 1$ ($S = 0$ или $S = 1$). Границами стабильности, таким образом, являются энергии $-1.1465E_0$ для $S = 3/2$ и $-1.2929E_0$ для $S = 1/2$, которые при конечных M не достигаются (рис. 3). Следовательно, термодинамически устойчивых $2D$ состояний D^{2-} нет. Отметим, однако, что распад D^{2-} в отсутствие внешних взаимодействий (например, с фононами) запрещен. Таким образом, при низких температурах состояния D^{2-} могут в принципе оказаться долгоживущими, а возможность их наблюдения в неравновесных условиях (например, при фотовозбуждении) зависит от их времен жизни, которые определяются, по-видимому, взаимодействиями с акустическими фононами (и зависят от величины поля H). Исследование кинетики распада таких состояний в сильном магнитном поле (как и нестабильных возбужденных состояний D^- — см. п. 5) требует, конечно, отдельного рассмотрения.

В заключение автор выражает благодарность А. Ю. Сиваченко, С. Г. Тиходееву и В. И. Юдсону за полезное обсуждение результатов, а также В. Н. Коробейникову за участие в численных расчетах на начальном этапе этой работы.

ПРИЛОЖЕНИЕ

Для матричных элементов обменного $e-e$ взаимодействия на нулевом и первом УЛ $U_{mn}^{(01)E}$ имеем (см. также [10-12])

$$U_{mn}^{(01)E}(s) = \left(\frac{m!n!}{(m+s)!(n+s)!} \right)^{1/2} \int \frac{d^2q}{(2\pi)^2} \tilde{U}(q) e^{-2x} x^{s+1} L_m^s(x) L_n^s(x), \quad (\text{П.1})$$

где $L_n^s(x)$ — обобщенные полиномы Лагерра, $x \equiv q^2 r_H^2 / 2$, $\tilde{U}(q) = 2\pi e^2 / \epsilon q$ — Фурье-образ кулоновского потенциала взаимодействия. Матричные элементы взаимодействия на нулевых УЛ $U_{mn}^{(00)}$ отличаются от (П.1) заменой $x^{s+1} \rightarrow x^s$, прямых взаимодействий на нулевом и первом УЛ $U_{mn}^{(01)}$ — заменой $x^{s+1} \rightarrow x^s L_1(x)$. С использованием производящей функции ⁴ для $L_n^s(x)$ матричные элементы выражаются в виде алгебраических сумм порядка $(n+1)(m+1)$

$$U_{mn}^{(00)}(s) = E_0 (m! (m+s)! n! (n+s)!)^{-1/2} 2^{-(2s+m+n)} - \frac{1}{2} \times \\ \times \sum_{k=0}^m \sum_{l=0}^n c_m^k c_n^l 2^{-k-l} [2(k+l+s)-1]!! [2(m-k)-1]!! [2(n-l)-1]!! \quad (\text{П.2})$$

и для матричных элементов обменного взаимодействия

$$U_{mn}^{(01)E}(s) = E_0 (m! (m+s)! n! (n+s)!)^{-1/2} 2^{-2(s+m+n)} - \frac{5}{2} \sum_{k=0}^m \sum_{l=0}^n c_m^k c_n^l \times \\ \times 2^{k+l} [2(s+m+n-k-l)+1]!! G_k G_l,$$

$$G_k = \begin{cases} 1, & k=0 \\ -[2k-3]!! , & k=1, 2, \dots, \end{cases} \quad (\text{П.3})$$

где C_n^l — биномиальные коэффициенты. Матричный элемент $U_{mn}^{(01)}(s)$ рассчитываем как разность (П.2) и (П.3), поскольку $L_1(x) = 1-x$. При фиксированных m , n матричные элементы с ростом s убывают экспоненциально.

Добавление, сделанное 2 июня 1992 г. После того как данная работа была послана в печать, автору стало известно, что часть полученных здесь результатов (см. также краткое сообщение [17]) для 2D состояний D^- на нулевом УЛ содержится также в опубликованной недавно работе [18]. Кроме того, в [19] сообщается о надежной экспериментальной идентификации переходов синглетных состояний D^- в КЯ в квантующих магнитных полях и полученном согласии с проведенными там вариационными расчетами (см. также [20]). Автор

⁴ Преимущество использования производящей функции, а не явного вида $L_n^s(x)$, содержащего знакопеременные члены, состоит в том, что в сумме (П.2) все члены (в (П.3) при $n, m \gg 1$ — большинство) — одного знака, что предпочтительнее для численных расчетов при больших n, m . Автор благодарен Ю. И. Георгиевскому, указавшему ему на эту особенность представления (П.2) для $L_m^s(x)$.

признателен Д. М. Ларсену за информацию о его работах [1⁸, 1⁹] и предоставление их копий, а также за сообщение результатов [2⁰] до их опубликования.

К настоящему времени, дополнив представленную здесь чисто 2D модель учетом 1) поперечного к КЯ движения квазидвумерных электронов, 2) непарabolicности зоны проводимости GaAs и 3) резонансных полярных поправок, мы получили [2¹, 2²] очень хорошее согласие с экспериментами [1¹, 2¹] для синглетных состояний D^- и, кроме того, нашли энергии связи и спектры переходов триплетных состояний D^- , поддающиеся непосредственной экспериментальной проверке.

Список литературы

- [1] Huant S., Najda S. P., Etienne B. // Phys. Rev. Lett. 1990. V. 65. N 12. P. 1486—1489.
- [2] Huant S., Mandray A., Martinez G., Grynberg M., Etienne B. // 9th Int. Conf. on Electronic Properties of 2D Systems, EP2DS-9, Nara, Japan, 1991; EP2DS-9 Workbook. P. 185; EP2DS-9 Proceedings, Surface Sci. 1992. V. 263. Nos. 1—3.
- [3] Pang T., Louie S. G. // Phys. Rev. Lett. 1990. V. 65. N 13. P. 1635—1638.
- [4] Larsen D. M. // Phys. Rev. Lett. 1979. V. 42. N 11. P. 742—745; Phys. Rev. B 1979. V. 20. N 12. P. 5217—5227.
- [5] Najda S. P., Armitstead C. J. et al. // Semicond. Sci. Technol. 1989. V. 4. N 6. P. 439—454.
- [6] Бычков Ю. А., Иорданский С. В., Элиашберг Г. М. // Письма в ЖЭТФ. 1981. Т. 33. № 3. С. 152—155.
- [7] Laughlin R. B. // Phys. Rev. B 1983. V. 27. N 6. P. 3383—3386.
- [8] Johnson M. H., Lippmann B. A. // Phys. Rev. 1949. V. 76. № 6. P. 828—832; 1950. V. 77. N 5. P. 702—705.
- [9] Малкин И. А., Манько В. И. Динамические симметрии и когерентные состояния квантовых систем. М.: Наука, 1979. Гл. I. § 7.
- [10] McDonald A. H., Ritchie D. S. // Phys. Rev. B. 1986. V. 33. N 12. P. 8336—8344.
- [11] Dziobenko A. B. // ФТТ. 1989. Т. 31. № 11. С. 84—91.
- [12] Dzyubenko A. B. // Solid State Commun. 1990. V. 74. N 5. P. 409—412; (C) V. 75. N 6.
- [13] Лerner И. В., Лозовик Ю. Е. // ЖЭТФ. 1980. Т. 78. № 3. С. 1167—1175.
- [14] Каплан И. Г. Симметрия многоэлектронных систем. М.: Наука, 1969. Гл. 2.
- [15] Эллиот Дж., Добер П. Симметрия в физике. М.: Мир, 1983. Т. 2. Гл. 17.
- [16] Бычков Ю. А., Рауша Э. И. // ЖЭТФ. 1989. Т. 96. № 2 (8). С. 757—766.
- [17] Dzyubenko A. B. // Phys. Lett. A. 1992. V. 165. N 4.
- [18] Larsen D. M., McCann S. Y. // Phys. Rev. B. 1992. V. 45. P. 3485—3488.
- [19] Mueller E. R., Larsen D. M., Waldman J., Goodhue W. // Phys. Rev. Lett. 1992. V. 68. P. 2204—2207.
- [20] Larsen D. M., McCann S. Y. // Submitted to Phys. Rev. B.
- [21] Dzyubenko A. B., Sivachenko A. Yu. // Accepted for presentation at Int. Conf. on the Application of High Magnetic Fields in Semiconductor Physics (HMSP'92). Chiba, Japan, Aug. 3—7 1992.
- [22] Dzyubenko A. B., Sivachenko A. Yu. // Accepted for presentation at 5th Int. Conf. on Shallow Impurities in Semiconductors (ICSIS-V). Kobe, Japan, Aug. 5—8 1992.

Научно-исследовательский центр
по технологическим лазерам РАН
Москва

Поступило в Редакцию

10 марта 1992 г.

В окончательной редакции
10 июня 1992 г.